

การศึกษาสภาพน้ำไฟฟ้าของสารละจายเกสือ เชื้อจากบางชีมิต
ของสังกะสีและแคด เมี่ยมในน้ำ



นางสาวสุจิตรา อุดลเดชา

วิทยานิพนธ์นี้เป็นส่วนหนึ่งของการศึกษาตามหลักสูตรปริญญาวิทยาศาสตรมหาบัณฑิต

ภาควิชาเคมี

บัณฑิตวิทยาลัย จุฬาลงกรณ์มหาวิทยาลัย

พ.ศ. ๒๕๖๖

ISBN 974-562-183-8

011271

117934229

CONDUCTIVITY STUDIES OF SOME DILUTE AQUEOUS SALT SOLUTIONS
OF ZINC AND CADMIUM

Miss Sujittra Aduldecha

A Thesis Submitted in Partial Fulfillment of the Requirements

for the Degree of Master of Science

Department of Chemistry

Graduate School

Chulalongkorn University

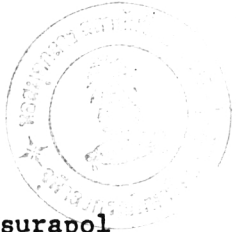
1983

Thesis Title Conductivity Studies of Some Dilute Aqueous Salt
 Solutions of Zinc and Cadmium

By Miss Sujittra Aduldecha

Department Chemistry

Thesis Advisor Korbratna Indaratna, Ph.D.
 Assistant Professor Sumet Vacharachaisurapol



Accepted by the Graduate School, Chulalongkorn University in
Partial Fulfillment of the Requirements for the Master's Degree.

S. Bunnag Dean of Graduate School

(Associate Professor Supradit Bunnag, Ph.D.)

Thesis Committee

Maen Amorasit Chairman

(Associate Professor Maen Amorasit)

Salag Dhabanandana Member

(Associate Professor Salag Dhabanandana, Ph.D.)

Sumet Vacharachaisurapol Member

(Assistant Professor Sumet Vacharachaisurapol)

Korbratna Indaratna Member

(Korbratna Indaratna, Ph.D.)

Copyright of the Graduate School, Chulalongkorn University.

หัวข้อวิทยานิพนธ์	การศึกษาสภาพนำไฟฟ้าของสารละลายน้ำเกลือ เจือจากบางชนิด
ชื่อนิสิต	นางสาวสุจิตรา อคุล เศชา
อาจารย์ที่ปรึกษา	ดร. กอบรัตน์ อินทร์ตัน ผู้ช่วยศาสตราจารย์ สุเมธ วัชระชัยสุรพล
ภาควิชา	เคมี
ปีการศึกษา	๒๕๔๕

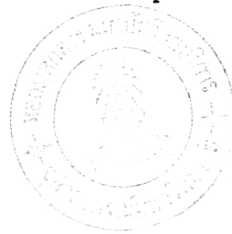


บทคัดย่อ

Lee และ Wheaton ได้อุปนิษัทสมการสภาพนำไฟฟ้าของสารละลายน้ำเจือจากน้ำ โดยใช้ Gurney cosphere model ซึ่งใช้ได้ผลกับ simple electrolytes แต่เมื่อนำมาใช้กับ associated unsymmetrical electrolyte อย่างแอดเมียนคลอไรด์ ปรากฏว่าสูตรที่แน่นอนไม่ได้ ด้วยเหตุนี้จึงมีการศึกษาเพิ่มเติมกับสารประกอบอื่นของแอดเมียน ซึ่งเป็นระบบที่สมการนี้ใช้สมมุติฐานน้อยลง เพื่อทดสอบผลการประยุกต์สมการของ Lee และ Wheaton นอกจากนั้นสมการนี้ยังได้นำไปประยุกต์ใช้กับสารประกอบประเภทเดียวกันของสังกะสี

สำหรับงานวิจัยนี้ได้นำข้อมูลสภาพนำไฟฟ้าของสารละลายน้ำเจือจากน้ำ แอดเมียนเบอร์คลอเรต, ชิงค์คลอไรด์, ชิงค์ซัลเฟต และ ชิงค์เบอร์คลอเรต ซึ่งได้รับในช่วงความเข้มข้น 0.0001M - 0.1M ไม่ต่ำกว่าร้อยละห้าโดยใช้สมการของ Lee และ Wheaton ซึ่งเป็นโปรแกรมภาษาฟอร์แทรนเพื่อกำนัณค่าสภาพนำไฟฟ้าในรูปของตัวแปรต่าง ๆ ในการหาค่าคงที่การรวมตัว (K_A), ระยะทางที่ใกล้ที่สุดของอิオン (R) และค่าสภาพนำไฟฟ้าของอิออนที่สารละลายน้ำเจือจากน้ำ (λ_1) ได้ใช้ multiparameter manual fitting method ซึ่งผลจากการวิเคราะห์นี้ได้นำไปเปรียบเทียบกับค่าที่ได้เมื่อใช้ข้อมูลสภาพนำไฟฟ้าจากงานวิจัยอื่นมาวิเคราะห์ ผลปรากฏว่าค่าของตัวแปรเหล่านี้จะซึ่งกันประเทกของสารละลายน้ำเจือจากน้ำ แอดเมียนเบอร์คลอเรต และข้อมูลสภาพนำไฟฟ้าที่นำมาวิเคราะห์ จึงไม่สามารถสรุปผลที่แน่นอนได้ อย่างไรก็ตาม ผลจากการวิจัยนี้ได้ให้ค่าประมาณของค่าคงที่การรวมตัว (K_A), ระยะทางที่ใกล้ที่สุดของอิออน (R) และค่าสภาพนำไฟฟ้าของอิออนที่สารละลายน้ำเจือจากน้ำ (λ_1) สำหรับสารละลายน้ำเจือจากน้ำ แอดเมียนเบอร์คลอเรต, แอดเมียนเบอร์คลอเรต, ชิงค์ซัลเฟต และ ชิงค์เบอร์คลอเรต

Thesis Title Conductivity Studies of Some Dilute Aqueous
 Salt Solutions of Zinc and Cadmium.
 Name Miss. Sujitra Aduldecha
 Thesis Advisor Korbratna Indaratana, Ph.D.
 Department Chemistry
 Academic Year 1982



ABSTRACT

Lee and Wheaton have derived the conductivity equation based on the model of Gurney cosphere. The validity of this equation has been illustrated for most simple electrolytes. The application to associated unsymmetrical electrolyte, viz., CdCl_2 system, is however still questionable. Further investigation was considered to be carried out for some systems of cadmium which involved less assumptions in order to test the validity of the Lee and Wheaton equation. The application to the same systems of zinc were also investigated.

In the present work the analyses of conductance data using the Lee and Wheaton equation were carried out for CdSO_4 , $\text{Cd}(\text{ClO}_4)_2$, ZnCl_2 , ZnSO_4 and $\text{Zn}(\text{ClO}_4)_2$ systems. The conductance of these electrolytes were measured in the concentration range of $0.0002\text{-}0.1 \text{ mol kg}^{-1}$. Fortran programmes for the calculation of the conductivity as a function of the fitting parameters were prepared. The multiparameter manual fitting method was used to determine the values of K_A , λ_i° and R. These results were compared with the values obtained from the same analysis using some literature data. The values of K_A , λ_i° and R were found to depend on the choice of systems and the conductance data used. Definite conclusion

could not be drawn for the values of these parameters. However, these analyses have provided the estimation of K_A , λ_i^0 and R values for $CdSO_4$, $Cd(ClO_4)_2$, $ZnCl_2$, $ZnSO_4$ and $Zn(ClO_4)_2$ systems.

ACKNOWLEDGEMENTS



The author wishes to express her sincere appreciation to Dr. Korbratna Indaratna for her helpful guiding, advising and encouraging throughout the course of this research. She is grateful to Assistant Professor Sumet Vacharachaisurapol for the programme preparation. Special thanks go to Mr. Vitath Tachangam and Associate Professor Kraivijit Tantimadh, for their guidance and assistance in writing computer programme. She would also like to express her thanks to Associate Professor Salag Dhabanandana for her valuable suggestion. Finally, she is indebted to the University Development Commission for financial support.

CONTENTS



	PAGE
ABSTRACT (IN THAI)	IV
ABSTRACT	V
ACKNOWLEDGEMENTS	VII
LIST OF TABLES	XI
LIST OF FIGURES	XIII
LIST OF SYMBOLS	XV
 CHAPTER	
I. INTRODUCTION	1
1.1 General Introduction	1
1.2 Conductivity Equations	1
1.3 The Present Work	2
II. THEORY	5
2.1 Basic Theory	5
2.2 Ion in Solution and Ion Association.....	8
2.3 Lee and Wheaton Conductance Equation	13
III. EXPERIMENTAL	21
3.1 Materials	21
3.1.1 Conductivity Water	21
3.1.2 Chemicals	21
3.2 Stock Solution and Their Analyses	21
3.3 Preparation of Solutions	22
3.4 Apparatus	25
3.4.1 Conductivity Bridge	25
3.4.2 Conductivity Cells	25

	PAGE
3.4.3 Temperature Control Unit	25
3.5 Density Measurement	25
3.6 Conductivity Measurement	26
3.6.1 Experimental Procedure	26
3.6.2 Determination of Cell Constant	27
3.6.3 Calculation of the Conductance	28
3.6.4 Conductivities of the Solutions	28
IV. ANALYSIS OF CONDUCTANCE DATA	33
4.1 Graphical Analysis	33
4.1.1 Method of Analysis	33
4.1.2 Results	33
4.2 Theoretical Analysis	46
4.2.1 Method of Analysis	46
4.2.2 Calculations	50
4.2.3 Results	51
V. DISCUSSIONS AND CONCLUSIONS	62
5.1 Discussions	62
5.1.1 Zinc perchlorate system	62
5.1.2 Zinc sulfate system	63
5.1.3 Zinc chloride system	64
5.1.4 Cadmium perchlorate system	65
5.1.5 Cadmium sulfate system	66
5.2 Conclusions	67
REFERENCES	70
APPENDIX A RESULTS OF THE DENSITY OF SOLUTIONS	74
APPENDIX B CORRECTION TO THE LEE AND WHEATON EQUATIONS	79

	PAGE
APPENDIX C THE CALCULATION OF THE SHEDLOVSKY EXTRAPOLATION FUNCTION	81
APPENDIX D THE CALCULATION OF IONIC SPECIES OF ZINC CHLORIDE SOLUTIONS	83
APPENDIX E PROGRAMME (1) ANALYSIS BY THE LEE AND WHEATON EQUATIONS FOR $ZnCl_2$ SYSTEM	85
APPENDIX F PROGRAMME (2) ANALYSIS BY THE LEE AND WHEATON EQUATIONS FOR $ZnSO_4$ AND $CdSO_4$ SYSTEMS	89
APPENDIX G PROGRAMME FOR CALCULATING THE IONIC SPECIES OF ZINC CHLORIDE SOLUTIONS	94
APPENDIX H THE FINAL CONDUCTANCE EQUATION BY LEE AND WHEATON	95
VITA	98

LIST OF TABLES

TABLE	PAGE
3.1 Density equations of some dilute electrolyte solutions	26
3.2 Specific Conductance of Potassium chloride Solutions	28
3.3 Cell Calibration	28
3.4 Equivalent Conductance of $Zn(ClO_4)_2$ in Water at $25^{\circ} C$	29
3.5 Equivalent Conductance of $ZnSO_4$ in Water at $25^{\circ} C$	30
3.6 Equivalent Conductance of $ZnCl_2$ in Water at $25^{\circ} C$	31
3.7 Equivalent Conductance of $CdSO_4$ in Water at $25^{\circ} C$	32
4.1 Parameter Estimation Lee and Wheaton equation-Aqueous $Zn(ClO_4)_2$, $ZnSO_4$, $ZnCl_2$, $Cd(ClO_4)_2$, $CdSO_4$, $CdCl_2$	52
4.2 Conductance-Concentration Data of Aqueous $ZnSO_4$	54
4.3 Conductance-Concentration Data of Aqueous $ZnCl_2$	55
4.4 Conductance-Concentration Data of Aqueous $CdSO_4$	56
4.5 Observed and Predicted Conductances. Lee and Wheaton equation-Aqueous $Zn(ClO_4)_2$	57
4.6 Observed and Predicted Conductances. Lee and Wheaton equation-Aqueous $ZnSO_4$	58
4.7 Observed and Predicted Conductances. Lee and Wheaton equation-Aqueous $ZnCl_2$	59

TABLE	PAGE
4.8 Observed and Predicted Conductances, Lee and Wheaton equation-Aqueous ZnCl ₂	60
4.9 Observed and Predicted Conductances, Lee and Wheaton equation-Aqueous CdSO ₄	61
5.1.1 Summary of Parameter Estimation-Aqueous Zn(ClO ₄) ₂	62
5.1.2 Summary of Parameter Estimation-Aqueous ZnSO ₄	63
5.1.3 Summary of Parameter Estimation-Aqueous Cd(ClO ₄) ₂	64
5.1.4 Summary of Parameter Estimation-Aqueous Cd(ClO ₄) ₂	65
5.1.5 Summary of Parameter Estimation-Aqueous CdSO ₄	66

LIST OF FIGURES

FIGURE	PAGE
2.1 Organisation of solvent at site of an ion	9
2.2 Ion-pair formation	10
2.3 Potential of forces vs. distance r curves for a pair of oppositely charged ion i and j	10
2.4 Potential of average force W_{ji} vs. distance r for ion-pairing	12
2.5 Reference frame for distribution of ion i, j and k with respect to solvent in solution	12
2.6 Pair distribution function f_{ji} vs. distance r for ion-pairing	14
3.1 Weight pipette	23
3.2 Diagrams of conductivity cells	24
3.3 Results of density measurements for $0.0002 - 0.1 \text{ mol dm}^{-3}$ aqueous $\text{Zn}(\text{ClO}_4)_2$ at 25°C	75
3.4 Results of density measurements for $0.0003 - 0.1$ mol dm^{-3} aqueous ZnSO_4 at 25°C	76
3.5 Results of density measurements for $0.0003 - 0.1$ mol dm^{-3} aqueous ZnCl_2 at 25°C	77
3.6 Results of density measurements for $0.0003 - 0.1$ mol dm^{-3} aqueous CdSO_4 at 25°C	78
4.1 Concentration dependence of conductance, $\Lambda_{\text{Zn}(\text{ClO}_4)_2}$ vs. $C_{\text{Zn}(\text{ClO}_4)_2}^{1/2}$ for $0.0002 - 0.1 \text{ mol dm}^{-3}$ aqueous $\text{Zn}(\text{ClO}_4)_2$ solution at 25°C	34

FIGURE	PAGE
4.2 Concentration dependence of conductance, Λ_{ZnSO_4} vs. $C_{\text{ZnSO}_4}^{1/2}$ for $0.0003 - 0.1 \text{ mol dm}^{-3}$ aqueous ZnSO_4 solution at 25°C	35
4.3 Concentration dependence of conductance, Λ_{ZnCl_2} vs. $C_{\text{ZnCl}_2}^{1/2}$ for $0.0003 - 0.1 \text{ mol dm}^{-3}$ aqueous ZnCl_2 solution at 25°C	36
4.4 Concentration dependence of conductance, Λ_{CdSO_4} vs. $C_{\text{CdSO}_4}^{1/2}$ for $0.0003 - 0.1 \text{ mol dm}^{-3}$ aqueous CdSO_4 solution at 25°C	37
4.5 $\Lambda_{\text{Zn}(\text{ClO}_4)_2}$ vs. $C_{\text{Zn}(\text{ClO}_4)_2}^{1/2}$ for $M_{\text{Zn}(\text{ClO}_4)_2}$ $< 1.3702 \times 10^{-3} \text{ mol dm}^{-3}$	38
4.6 Λ_{ZnSO_4} vs. $C_{\text{ZnSO}_4}^{1/2}$ for M_{ZnSO_4} $< 1.0639 \times 10^{-3} \text{ mol dm}^{-3}$	39
4.7 Λ_{ZnCl_2} vs. $C_{\text{ZnCl}_2}^{1/2}$ for M_{ZnCl_2} $< 4.7239 \times 10^{-3} \text{ mol dm}^{-3}$	40
4.8 Λ_{CdSO_4} vs. $C_{\text{CdSO}_4}^{1/2}$ for M_{CdSO_4} $< 1.0439 \times 10^{-3} \text{ mol dm}^{-3}$	41
4.9 $\overset{\circ}{\Lambda}$ vs. $M_{\text{Zn}(\text{ClO}_4)_2}$ ($< 1.0672 \times 10^{-3} \text{ mol dm}^{-3}$) at 25°C	42
4.10 $\overset{\circ}{\Lambda}$ vs. M_{ZnSO_4} ($< 1.0639 \times 10^{-3} \text{ mol dm}^{-3}$) at 25°C	43
4.11 $\overset{\circ}{\Lambda}$ vs. M_{ZnCl_2} ($< 3.4341 \times 10^{-3} \text{ mol dm}^{-3}$) at 25°C	44
4.12 $\overset{\circ}{\Lambda}$ vs. M_{CdSO_4} ($< 1.0439 \times 10^{-3} \text{ mol dm}^{-3}$) at 25°C	45

LIST OF SYMBOLS

v	Velocity of ions	cm s^{-1}
w	Solvent velocity	cm s^{-1}
ω	Absolute mobility of ions	$\text{cm s}^{-1} \text{ dyne}^{-1}$
u	Electrical mobility of ions	$\text{cm}^2 \text{ v}^{-1} \text{ s}^{-1}$
	Electrophoretic velocity	cm s^{-1}
μ	Ionic strength fraction	
η^*	Solvent viscosity	poise
T^*	Absolute temperature	K
D^*	Dielectric constant of solvent	
k^*	Boltzmann's constant	$\text{erg K}^{-1} \text{ molecule}^{-1}$
e^*	Electronic charge	e.s.u.
β	Equal to e^2/DkT	
B_1	Coefficient of the relaxation term (equation 2, Chapter 2)	$\text{mol}^{-1/2} \text{ dm}^{3/2}$
B_2	Coefficient of the electrophoretic term (equation 2, Chapter 2)	$\text{mol}^{-1/2} \text{ dm}^{3/2} \text{ cm}^2 \Omega^{-1} \text{ equiv}^{-1}$
q	Mobility function in relaxation effect (equation 2, Chapter 2)	
κ	Conductivity of solution	$\Omega^{-1} \text{ cm}^{-1}$
	A reciprocal of ionic radii in Onsager equations (Chapter 2)	cm^{-1}
I	Ionic strength	mol dm^{-3}
C	Equivalent concentration	equiv dm^{-3}
M	Molar concentration	mol dm^{-3}
m	Molal concentration	mol kg^{-1}

W	Weight percent	%
n	Ionic concentration in microscopic unit	
M _w	Molar mass	g mol ⁻¹
N*	Avogadro number	
V	Volume	cm ³
F*	Faraday constant	C equiv. ⁻¹
	Forces	
X	Electric field strength	V cm ⁻¹
Δx	Relaxation field	
ψ	Electrostatic potential	V cm ⁻¹
i, j	Ionic species with opposite charges	
f()	Function of ()	
f _{ji}	Pair distribution function (Chapter 2)	
a	Crystallographic radius of an ion	cm
a ₀	Sum of the crystallographic radii of ions i and j	cm
R	Resistance (Chapter 3)	Ω
	Distance of closest approach between two solvated ions	
	(Chapter 2) (= R _{ji})	cm
Λ	Equivalent conductance of electrolyte solution	cm ² Ω ⁻¹ equiv. ⁻¹
Λ°	Limiting equivalent conductance of electrolyte solution	cm ² Ω ⁻¹ equiv. ⁻¹

Λ^o	The Shedlovsky Extrapolation function	$\text{cm}^2 \Omega^{-1} \text{ equiv.}^{-1}$
λ	Ionic equivalent conductance	$\text{cm}^2 \Omega^{-1} \text{ equiv.}^{-1}$
λ^o	Limiting ionic equivalent conductance	$\text{cm}^2 \Omega^{-1} \text{ equiv.}^{-1}$
Z_i	Algebraic valency of ion i	
r	Distance in spherical polar coordinates	cm
x, y, z	Distance in Cartesian coordinate	cm
K_A	Stability or association constant	$\text{kg mol}^{-1} \text{ or dm}^3 \text{ mol}^{-1}$
γ	Activity Coefficient	
$\delta(\Lambda)$	Standard deviation function of Λ	$\text{cm}^2 \Omega^{-1} \text{ equiv.}^{-1}$
Δ	Mean percentage deviation	%
ξ	Conversion factor ($V \rightarrow$ e.s.u.) = 1/299.7925	
b	Cell constant (Chapter 3)	cm^{-1}
	Hydrodynamic radius (b_{ji}) (Chapter 2)	cm

* Numerical values of these constants are those listed in reference (24)